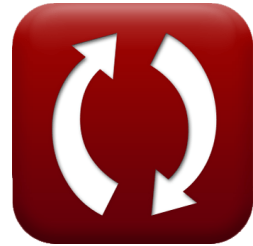




calculatoratoz.com



unitsconverters.com

Распределение эллиптического подъемника Формулы

Калькуляторы!

Примеры!

Преобразования!

Закладка calculatoratoz.com, unitsconverters.com

Самый широкий охват калькуляторов и рост - **30 000+ калькуляторов!**

Расчет с разными единицами измерения для каждой переменной -

Встроенное преобразование единиц измерения!

Самая широкая коллекция измерений и единиц измерения - **250+ измерений!**



Не стесняйтесь ПОДЕЛИТЬСЯ этим документом с друзьями!

[Пожалуйста, оставьте свой отзыв здесь...](#)



Список 20 Распределение эллиптического подъемника Формулы

Распределение эллиптического подъемника ↗

1) Коэффициент индуцированного сопротивления с учетом соотношения сторон ↗

$$fx \quad C_{D,i} = \frac{C_L^2}{\pi \cdot AR}$$

[Открыть калькулятор ↗](#)

$$ex \quad 0.025677 = \frac{(1.1)^2}{\pi \cdot 15}$$

2) Коэффициент подъемной силы с учетом индуцированного угла атаки ↗

$$fx \quad C_L = \pi \cdot \alpha_i \cdot AR$$

[Открыть калькулятор ↗](#)

$$ex \quad 9.047137 = \pi \cdot 11^\circ \cdot 15$$

3) Коэффициент подъемной силы с учетом коэффициента индуктивного сопротивления ↗

$$fx \quad C_L = \sqrt{\pi \cdot AR \cdot C_{D,i}}$$

[Открыть калькулятор ↗](#)

$$ex \quad 9.70813 = \sqrt{\pi \cdot 15 \cdot 2}$$



4) Коэффициент подъемной силы с учетом циркуляции в начале

fx $C_L = \pi \cdot b \cdot \frac{\Gamma_o}{2 \cdot V_\infty \cdot S_{\text{origin}}}$

[Открыть калькулятор !\[\]\(e78f798d4ea5c530c9db49e7d26e6b95_img.jpg\)](#)

ex $59.31067 = \pi \cdot 950\text{m} \cdot \frac{14\text{m}^2/\text{s}}{2 \cdot 68\text{m/s} \cdot 5.18\text{m}^2}$

5) Подъемная сила крыла с учетом циркуляции в начале

fx $F_L = \frac{\pi \cdot \rho_\infty \cdot V_\infty \cdot b \cdot \Gamma_o}{4}$

[Открыть калькулятор !\[\]\(05be7c7a8995decd503647c99211f7c2_img.jpg\)](#)

ex $870134.8\text{N} = \frac{\pi \cdot 1.225\text{kg/m}^3 \cdot 68\text{m/s} \cdot 950\text{m} \cdot 14\text{m}^2/\text{s}}{4}$

6) Подъемная сила на заданном расстоянии вдоль размаха крыла

fx $F_L = \rho_\infty \cdot V_\infty \cdot \Gamma_o \cdot \sqrt{1 - \left(2 \cdot \frac{a}{b}\right)^2}$

[Открыть калькулятор !\[\]\(fe3aebe81acea8d45108cd2768939da7_img.jpg\)](#)

ex $1166.2\text{N} = 1.225\text{kg/m}^3 \cdot 68\text{m/s} \cdot 14\text{m}^2/\text{s} \cdot \sqrt{1 - \left(2 \cdot \frac{16.4\text{mm}}{950\text{m}}\right)^2}$

7) Промывка вниз в распределении эллиптического подъемника

fx $w = -\frac{\Gamma_o}{2 \cdot b}$

[Открыть калькулятор !\[\]\(899d8b7697d64725bf017d3296cfcf1b_img.jpg\)](#)

ex $-0.007368\text{m/s} = -\frac{14\text{m}^2/\text{s}}{2 \cdot 950\text{m}}$



8) Скорость набегающего потока при заданном угле атаки

fx $V_{\infty} = \frac{\Gamma_o}{2 \cdot b \cdot \alpha_i}$

[Открыть калькулятор !\[\]\(e2376d476d06eb31946dc01a69a4403a_img.jpg\)](#)

ex $0.03838 \text{ m/s} = \frac{14 \text{ m}^2/\text{s}}{2 \cdot 950 \text{ m} \cdot 11^\circ}$

9) Скорость набегающего потока с учетом циркуляции в начале

fx $V_{\infty} = \pi \cdot b \cdot \frac{\Gamma_o}{2 \cdot S_{\text{origin}} \cdot C_L}$

[Открыть калькулятор !\[\]\(0b5e7e25e8775f7e7e80906ada4f0021_img.jpg\)](#)

ex $3666.478 \text{ m/s} = \pi \cdot 950 \text{ m} \cdot \frac{14 \text{ m}^2/\text{s}}{2 \cdot 5.18 \text{ m}^2 \cdot 1.1}$

10) Соотношение сторон с учетом индуцированного угла атаки

fx $AR = \frac{C_L}{\pi \cdot \alpha_i}$

[Открыть калькулятор !\[\]\(bd3b31712ad9bab5a241210fa6925cdd_img.jpg\)](#)

ex $1.823781 = \frac{1.1}{\pi \cdot 11^\circ}$



11) Соотношение сторон с учетом коэффициента индуктивного сопротивления ↗

fx $AR = \frac{C_L^2}{\pi \cdot C_{D,i}}$

[Открыть калькулятор ↗](#)

ex $0.192577 = \frac{(1.1)^2}{\pi \cdot 2}$

12) Циркуляция на заданном расстоянии по размаху крыла ↗

fx $\Gamma = \Gamma_0 \cdot \sqrt{1 - \left(2 \cdot \frac{a}{b}\right)^2}$

[Открыть калькулятор ↗](#)

ex $14m^2/s = 14m^2/s \cdot \sqrt{1 - \left(2 \cdot \frac{16.4mm}{950m}\right)^2}$

Тираж в происхождении ↗

13) Тираж в месте происхождения с учетом нисходящего потока ↗

fx $\Gamma_0 = -2 \cdot w \cdot b$

[Открыть калькулятор ↗](#)

ex $76000m^2/s = -2 \cdot -40m/s \cdot 950m$



14) Циркуляция в исходной точке с учетом индуцированного угла атаки

fx $\Gamma_o = 2 \cdot b \cdot \alpha_i \cdot V_\infty$

[Открыть калькулятор !\[\]\(9dfdaff1d86ba3c1f8353b4d1b61b8c5_img.jpg\)](#)

ex $24804.62 \text{m}^2/\text{s} = 2 \cdot 950\text{m} \cdot 11^\circ \cdot 68\text{m}/\text{s}$

15) Циркуляция в начале координат при распределении эллиптической подъемной силы

fx $\Gamma_o = 2 \cdot V_\infty \cdot S_{\text{origin}} \cdot \frac{C_l}{\pi \cdot b}$

[Открыть калькулятор !\[\]\(2b376d1a92330ab09dad2665d2f89bf5_img.jpg\)](#)

ex $0.354068 \text{m}^2/\text{s} = 2 \cdot 68\text{m}/\text{s} \cdot 5.18\text{m}^2 \cdot \frac{1.5}{\pi \cdot 950\text{m}}$

16) Циркуляция в начале с учетом подъемной силы крыла

fx $\Gamma_o = 4 \cdot \frac{F_L}{\rho_\infty \cdot V_\infty \cdot b \cdot \pi}$

[Открыть калькулятор !\[\]\(c444627dab9fee9a1550c053ffaaaae2_img.jpg\)](#)

ex $0.000169 \text{m}^2/\text{s} = 4 \cdot \frac{10.5\text{N}}{1.225\text{kg}/\text{m}^3 \cdot 68\text{m}/\text{s} \cdot 950\text{m} \cdot \pi}$



Индукцированный угол атаки ↗

17) Индуцированный угол атаки с учетом коэффициента подъемной силы ↗

fx $\alpha_i = S_{\text{origin}} \cdot \frac{C_1}{\pi \cdot b^2}$

[Открыть калькулятор ↗](#)

ex $0.000157^\circ = 5.18m^2 \cdot \frac{1.5}{\pi \cdot (950m)^2}$

18) Индуцированный угол атаки с учетом нисходящей волны ↗

fx $\alpha_i = -\left(\frac{w}{V_\infty}\right)$

[Открыть калькулятор ↗](#)

ex $33.7034^\circ = -\left(\frac{-40m/s}{68m/s}\right)$

19) Индуцированный угол атаки с учетом соотношения сторон ↗

fx $\alpha_i = \frac{C_1}{\pi \cdot AR}$

[Открыть калькулятор ↗](#)

ex $1.823781^\circ = \frac{1.5}{\pi \cdot 15}$



20) Индуцированный угол атаки с учетом циркуляции в начале 

$$\alpha_i = \frac{\Gamma_0}{2 \cdot b \cdot V_\infty}$$

[Открыть калькулятор !\[\]\(e10773081adcaeab632f9dd4c8931cd5_img.jpg\)](#)

$$0.006209^\circ = \frac{14\text{m}^2/\text{s}}{2 \cdot 950\text{m} \cdot 68\text{m/s}}$$



Используемые переменные

- **a** Расстояние от центра до точки (*Миллиметр*)
- **AR** Удлинение крыла
- **b** Размах крыльев (*метр*)
- **C_{D,i}** Коэффициент индуцированного сопротивления
- **C_I** Происхождение коэффициента подъемной силы
- **C_L** Коэффициент подъема
- **F_L** Подъемная сила (*Ньютон*)
- **S_{origin}** Происхождение эталонной области (*Квадратный метр*)
- **V_∞** Скорость свободного потока (*метр в секунду*)
- **w** Промывка вниз (*метр в секунду*)
- **α_i** Индуцированный угол атаки (*степень*)
- **Γ** Тираж (*Квадратный метр в секунду*)
- **Γ_o** Тираж в месте происхождения (*Квадратный метр в секунду*)
- **ρ_∞** Плотность свободного потока (*Килограмм на кубический метр*)



Константы, функции, используемые измерения

- **постоянная:** pi, 3.14159265358979323846264338327950288
Archimedes' constant
- **Функция:** sqrt, sqrt(Number)
Square root function
- **Измерение:** Длина in метр (m), Миллиметр (mm)
Длина Преобразование единиц измерения 
- **Измерение:** Область in Квадратный метр (m²)
Область Преобразование единиц измерения 
- **Измерение:** Скорость in метр в секунду (m/s)
Скорость Преобразование единиц измерения 
- **Измерение:** Сила in Ньютон (N)
Сила Преобразование единиц измерения 
- **Измерение:** Угол in степень (°)
Угол Преобразование единиц измерения 
- **Измерение:** Плотность in Килограмм на кубический метр (kg/m³)
Плотность Преобразование единиц измерения 
- **Измерение:** Импульсная диффузия in Квадратный метр в секунду (m²/s)
Импульсная диффузия Преобразование единиц измерения 



Проверьте другие списки формул

- Распределение эллиптического подъемника Формулы 
- Общее распределение лифтов Формулы 

Не стесняйтесь ПОДЕЛИТЬСЯ этим документом с друзьями!

PDF Доступен в

[English](#) [Spanish](#) [French](#) [German](#) [Russian](#) [Italian](#) [Portuguese](#) [Polish](#) [Dutch](#)

10/27/2023 | 5:33:05 AM UTC

[Пожалуйста, оставьте свой отзыв здесь...](#)

